

PAPER DETAILS

TITLE: ENERJİ HATLARI ÜZERINDEN MESAJ GÖNDERME SISTEMİNİN TASARIMI VE
GERÇEKLESTIRILMESI

AUTHORS: Güngör BAL,Nihat DALDAL

PAGES: 0-0

ORIGINAL PDF URL: <https://dergipark.org.tr/tr/download/article-file/76479>

ENERJİ HATLARI ÜZERİNDEN MESAJ GÖNDERME SİSTEMİNİN TASARIMI VE GERÇEKLEŞTİRİLMESİ

Güngör BAL¹, Nihat DALDAL²

Elektrik-Elektronik Mühendisliği Bölümü, Teknoloji Fakültesi, Gazi Üniversitesi, Beşevler, Ankara
Elektronik Bölümü, Kızılcahamam Teknik ve EM Lisesi, Kızılcahamam, Ankara
gunbal@gazi.edu.tr, nihatdaldal@gmail.com

(Geliş/Received: 13.03.2013; Kabul/Accepted: 27.02.2014)

ÖZET

Bu çalışmada, enerji hatları üzerinden haberleşebilen bir mesajlaşma sistemi mikro denetleyici tabanlı olarak gerçekleştirilmiştir. Yapılan çalışma ile klavyeden yazılan mesajlar LCD ekranda görünümele birlikte bu mesaj sinyalleri enerji hattı üzerinden gönderilmekte olup alıcı tarafta ise enerji hattı üzerinden alınarak LCD ekran üzerinde gözlemlenmektedir. Mesaj bilgilerinin hem vericide hem de alıcıda mesaj verileri formatına dönüştürülmesi mikro denetleyiciler vasıtasiyla yapılmaktadır. Dijital mesaj bilgilerinin dijital sinyale dönüştürülmesinde frekans kaymamı anahtarlama (FSK) tipi modülasyon kullanılmıştır. Sinyal frekansı 140kHz olarak seçilmiştir. Mesaj sinyallerinin enerji iletim hattına uygulanması için gerekli kublaj işleminde transformatör ve kondansatörlerden yararlanılmıştır. Geliştirilen tasarım sonucunda ilave kablo kullanmadan mevcut enerji hattı ile veri transferi düşük maliyet ve esnek haberleşme frekansı ile bina içi haberleşme sistemlerinde kolaylıkla kullanılabilecektir.

Anahtar kelimeler: Enerji hatları üzerinden haberleşme, FSK, modülatör, demodülatör, verici ve alıcı

DESIGN AND IMPLEMENTATION OF A MESSAGE SENDING SYSTEM OVER POWER LINES

ABSTRACT

In this study, a messaging system communicating over power lines was carried out based on microcontroller. The messages written on the keyboard are shown on the LCD (Liquid Cristal Display) and sent over the power line simultaneously. These messages received through power line are displayed on the LCD in the receiver circuit. The message data are converted into message signals with microcontrollers in both transmitter and receiver circuits. Digital data are converted into data signals with 140 kHz frequency by using Frequency Shift Keying (FSK) modulator/demodulator. The data signals are applied over the power line through a transformer and a capacitor called as a coupling circuit. In the developed power line communication (PLC) system based on microcontroller, data transfer can be provided with adjustable signal frequency by existing power line cables without using additional cables with very low cost. These futures make the PLC system attractive for the indoor communication system.

Keywords: Powerline communication, FSK, modulator, demodulator, transmitter, receiver

1. GİRİŞ (INTRODUCTION)

Günümüzde haberleşme sistemlerinde kablolu iletişim ya da kablosuz iletişim kullanılmasının yanı sıra artık enerji hatları da veri haberleşmesinde kullanılmaya başlanmıştır, özellikle de ilave kablo çekme zorunluluğu ortadan kaldırıldığı için tercih edilir duruma gelmiştir. Enerji hatları üzerinden haberleşmenin en çok

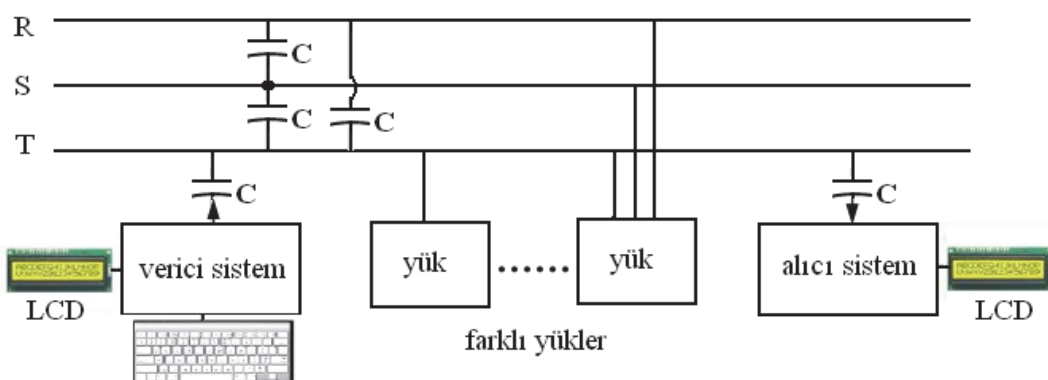
kullanıldığı alanlar; sayaç okuma, internet paylaşımı, bina içi veri haberleşmesi gösterilebilir [1-3].

Enerji hatları üzerinden haberleşmede en temel mantık şebekenin sıfır geçiş anlarında enerji hattına yüksek frekanslı sinyal uygulamaktır. Alıcı tarafta şebeke geriliminin sıfır geçiş anları kontrol edilir ve sinyalin varlığı gözlemlenirse, veri haberleşmesi

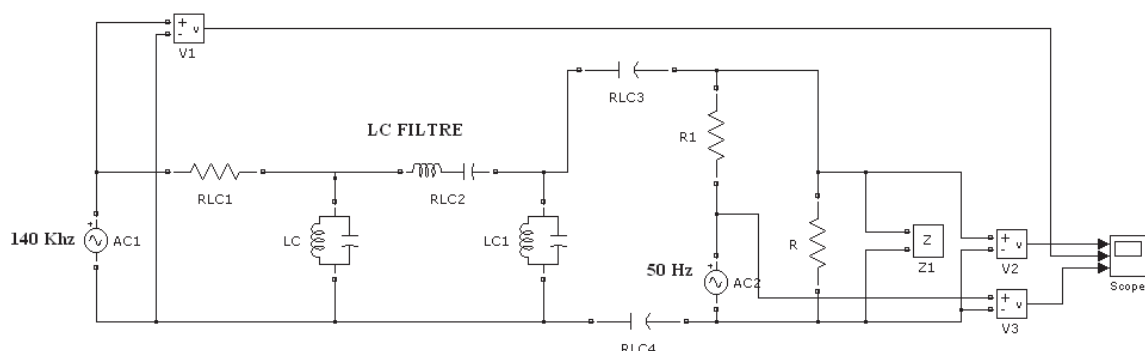
gerçekleştirilebilir. Burada genel olarak genlik kaymalı anahtarlama (ASK) modülasyonu kullanılmaktadır, yani dijital veri hatta verildiğinde “1” kabul edilmekte, verilmediğinde ise “0” kabul edilmektedir. Verici ve alıcı arasında bir algoritma kurularak haberleşme gerçekleştirilebilmektedir [4].

Şebeke geriliminin sıfır geçişlerine bağımlı olarak veri iletişimi gerçekleştirildiği zaman sadece 1 bitlik veri gönderimi için 10ms gibi bir süre geçeceğinden haberleşme hızı düşük olmaktadır. Ayrıca bu tür haberleşmenin tek faz üzerinde gerçekleştirilebilmesi önemli bir dezavantajdır. Artık günümüzde evlerde bile üç-faz şebeke bulunmaktadır ve her fazın sıfır geçiş anlarının birbirinden farklı zamanlarda olmaktadır [5]. Başka bir ifadeyle, sıfır geçiş takip edilerek yapılan haberleşme farklı fazlarda yapılamamaktadır. Bu sebeplerden dolayı haberleşmenin her üç fazda da gerçekleştirilmesi tercih edilir duruma gelmiştir[6].

Bu çalışmada, FSK modülasyonu kullanılarak bir verici ve alıcı sistem gerçekleştirilmiş ve sistemler enerji hattı üzerinden haberleştirilerek verici sisteme bulunan klavyeden yazılan mesajlar alıcı sisteme LCD ekranından görüntülenmiştir. Verici sistem giriş kattaki daire içindeki bir odadan, alıcı sistemi ise 5. kattaki daireden herhangi bir prize takılmış ve sistem denemesi başarılı bir şekilde gerçekleştirilmiştir.



Şekil 1. Sisteminin blok şeması (System block diagram)

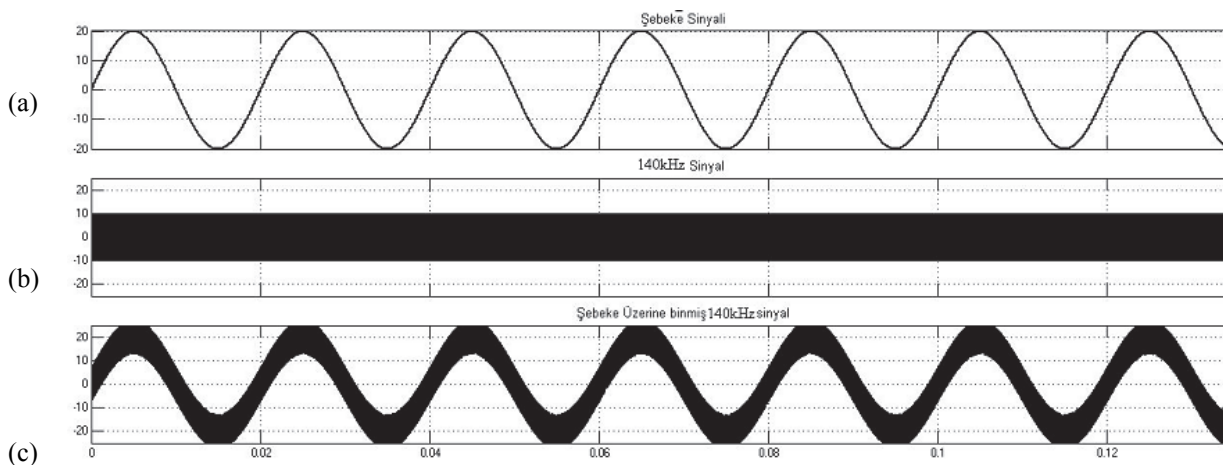


Şekil 2. Farklı frekanstaki sinyal kaynaklarının modülasyonunun Simulink'te modellenmesi (Simulink modelling of different frequency signal source modulations)

2. SİSTEM MODELLEMESİ (SYSTEM MODELLING)

Bu çalışmada tasarlanan ve gerçekleştirilen sistemin blok şeması Şekil 1'de gösterilmiştir. Verici sisteme klavyeden yazılan mesaj bilgisi mikrodenetleyici ile algılanıp sayısal bitlere ayrılmakta ve her bite karşılık gelen bilgi seri olarak FSK modülatöre uygulanmaktadır. Modülatör tarafından dijital “1” bilgisi için 140kHz, dijital “0” için 120kHz frekanslı sinyallere dönüştürülmemekte ve sürücü ve kublaj transformatörü üzerinden şönt kondansatörler ile her üç faza uygulanmaktadır. Alıcı sisteme şönt kondansatör üzerinden yüksek frekanslı bilgilerifiltreden geçirerek yükseltmekte ve FSK demodülatör ile dijital bilgiye çevrilen sinyaller mikrodenetleyici ile seri olarak okunarak LCD ekran karakterler biçiminde gönderilmektedir. Hatta fazlar arasının kondansatörler ile şöntlenmesi ile her fazda yüksek frekanslı bilginin iletilmesi mümkün olmaktadır [7].

Yüksek frekanslı bir sinyalin 50Hz şebeke frekansı üzerine bindirilmesi ve sonuçların analiz edilmesi için Matlab Simulink'te öncelikle modelleme yapılmıştır. Şekil 2'de gösterildiği gibi Matlab Simulink kullanılarak yapılan modellemeden elde edilen sinyaller Şekil 3'de verilmiştir. Yüksek frekanslı haberleşme sinyali yüksek geçen RLC filtre üzerinden şebekeye uygulanmıştır.



Şekil 3. (a) Şebeke gerilim sinyali (Powerline signal), (b) yüksek frekanslı haberleşme sinyali (high frequency communication signal), (c) haberleşme sinyali bindirilmiş şebeke gerilimi (Powerline signal with the communication signal)

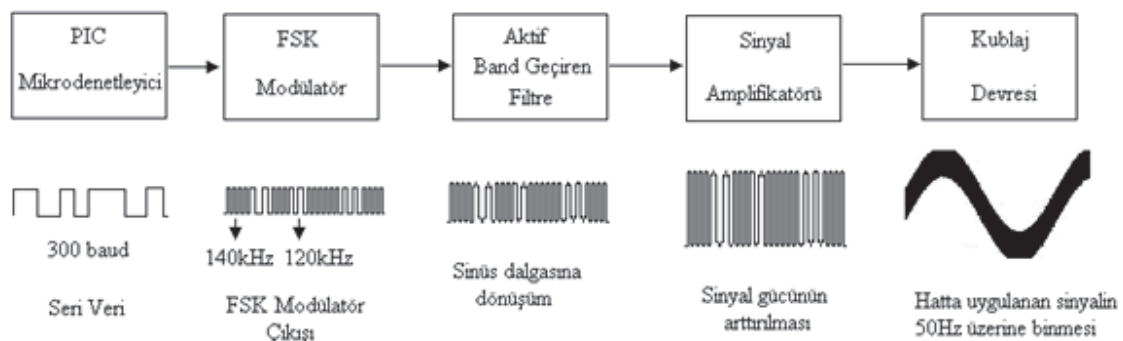
Şekil 3'den görüldüğü gibi yüksek frekanslı sinyal şebeke sinyali üzerine bindirilmektedir. Sinyal alıcı tarafında ise hat sinyali bir kublaj devresi üzerinden alınmaktadır ve band geçiren filtreden geçirilerek haberleşme sinyali elde edilmektedir. Sinyal gönderme ve alma işlemi bir dijital haberleşme mantığına uyandığında, enerji hattı üzerinden haberleşme işlemi gerçekleştirilmiş olmaktadır. Yüksek frekanslı sinyal iletiminin dijital haberleşmeye uyarlanması, hızlı ve güvenli olmasından dolayı FSK modülasyonu ile en uygun şekilde gerçekleştirilmektedir [8].

3. VERİCİ DEVRESİ (TRANSMITTER CIRCUIT)

Şekil 4'de gösterildiği gibi tasarlanan verici devresinde, PIC16F628 mikro denetleyicisi ile seri haberleşme olarak gönderilen veri FSK modülatöre

uygulanmaktadır, FSK modülatör "1" dijital verisine karşılık gelen bilgiye karşılık 140 kHz üretirken "0" dijital verisine karşılık gelen bilgiye karşılık 120kHz üretmektedir. FSK modülatör çıkışında üretilen sinyal band geçen filtreden geçirildikten sonra amplifikatör devresi ile yükseltilmekte ve transformatör kublajı üzerinden enerji hattına uygulanmaktadır. Hatta uygulanan moduleli sinyal genliği Şekil 7 ve Şekil 8'de görüldüğü gibi tepeye yaklaşık 11V sinüs sinyalidir.

Haberleşme sisteminin üç-fazlı şebekenin her bir fazında çalışabilmesi için her an veri gönderimi yapılmasının yanı sıra fazlar arasında yüksek frekanslı sinyalin geçebilmesi, şebeke sinyaline ise yüksek reaktans göstermesi amacıyla kondansatörler fazlararasına Şekil 1'de görüldüğü gibi paralel olarak bağlanmıştır. Bunun için 100nF, 400V iki kondansatör seri bağlanarak 800V'a kadar gerilimlere çalışabilmesi sağlanmıştır [9].



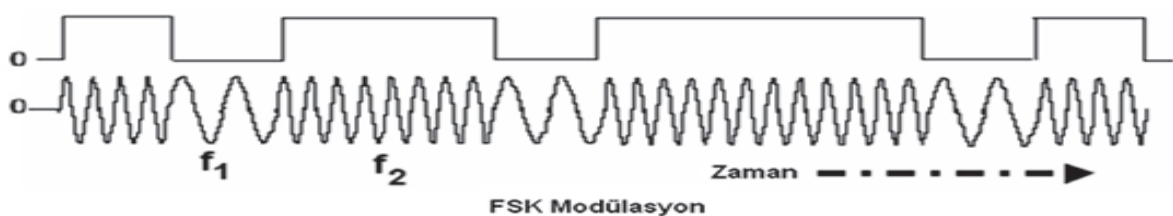
Şekil 4. Tasarlanan verici devre blok şeması (The designed circuit block diagram of the transmitter)

3.1. FSK tipi modülatör tasarıımı (Design of Frequency Shift Keying Type Modulator)

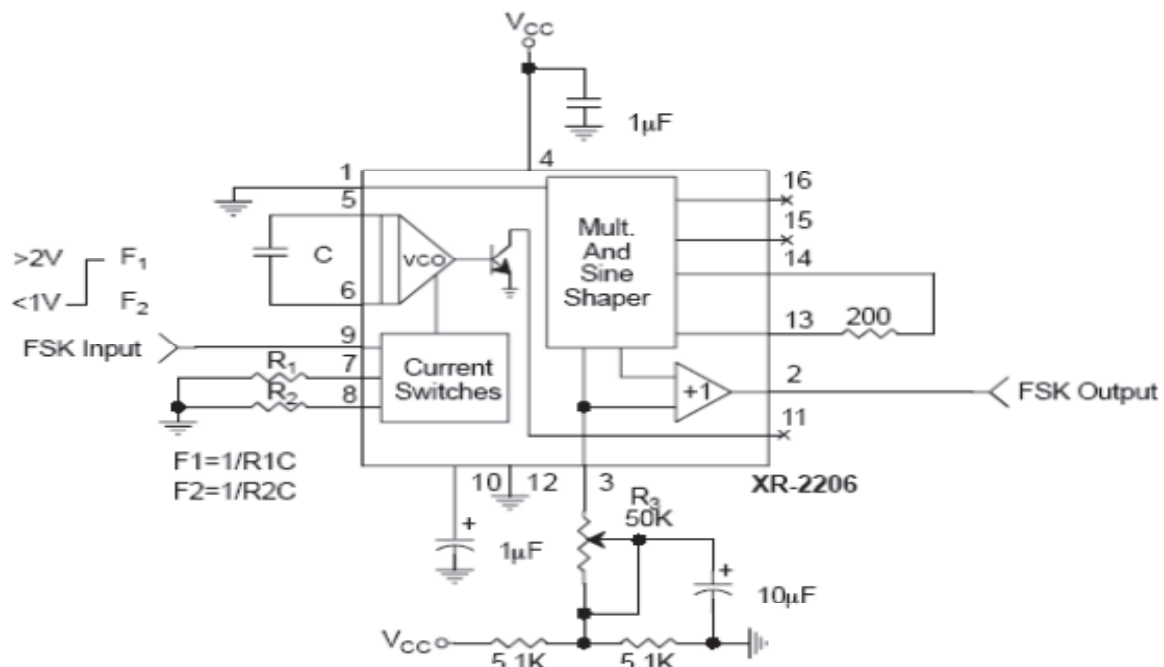
Bir fonksiyon jeneratörü entegre devresi şeklinde olan XR-2206, kaliteli sinüs üretebilen, kare, üçgen, doğrulukta üretebilen modülatördür. Çalışma frekansı 0.01Hz ile 1MHz arasındadır. Bu çalışmada FSK sinyalini üretmek amacıyla XR-2206 modülatörü kullanılmıştır. Frekans kaydırmalı anahtarlamada, taşıyıcı sinyalin frekansı gönderilecek bilgi işaretine bağlı olarak değiştirilir. 1 biti için belirli bir F1 frekanslı sinyal, 0 biti için

yne belirli bir F2 frekanslı sinyal gönderilir [10]. Bu durumda taşıyıcı sinyalin genliği sabittir, değiştirilmez. Modülasyonlu işaret;

Mikro denetleyici için hazırlanan yazılımda sadece seri veri sinyali gönderilmekte ve alıcı tarafta da seri veri sinyali beklenmektedir. Burada haberleşme hızının düşük seçilmesinin sebebi veri kaybının olmasını önemektir. Şekil 7 ve 8'de sırasıyla "1" ve "0" dijital verilerine karşılık gelen modülatör çıkış sinyalleri gösterilmiştir.



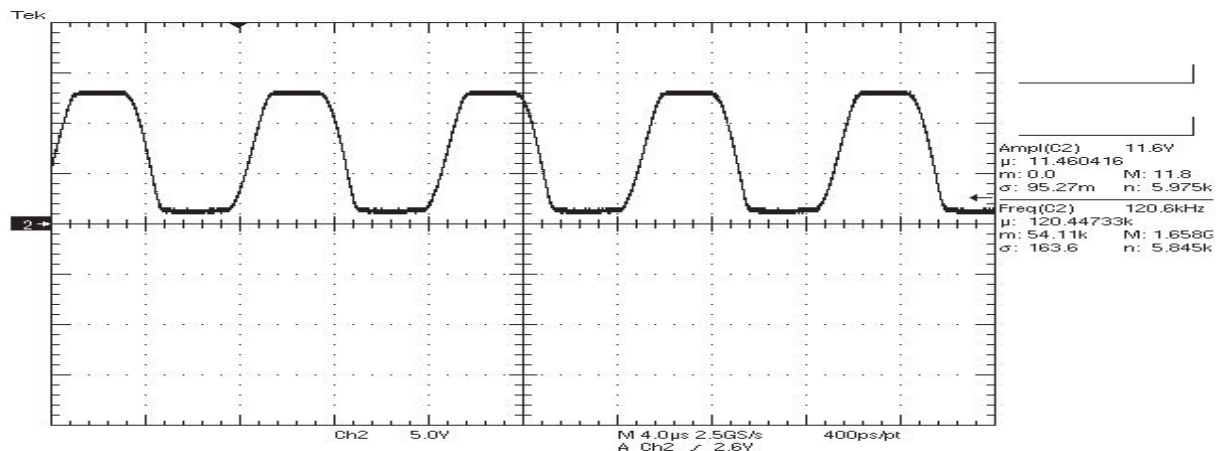
Sekil 5. Dijital veriye karşılık gelen FSK sinyali (FSK signal corresponding to the digital data)



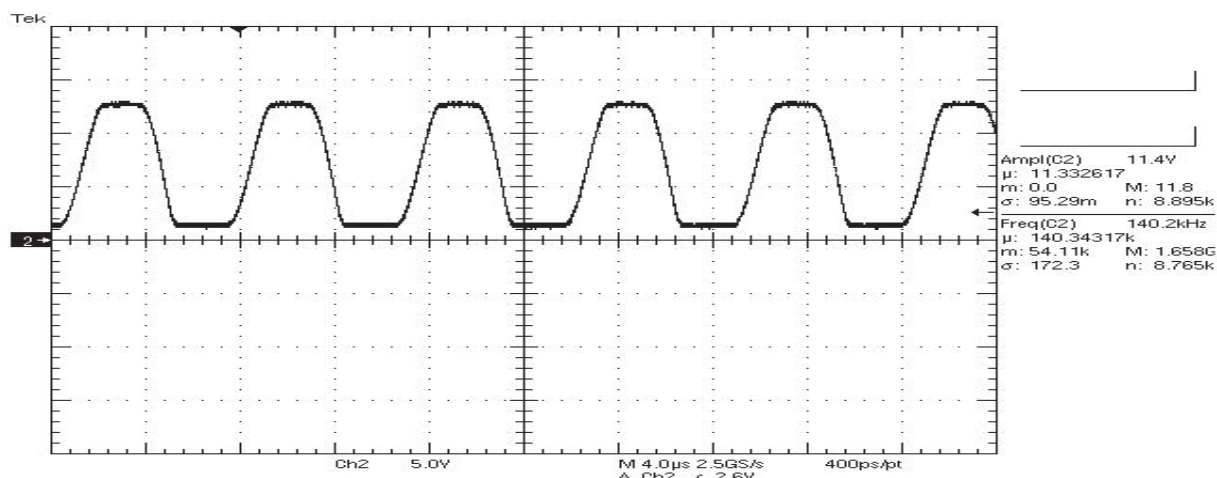
Sekil 6. FSK modülatör devresi (FSK modulator circuit)

Cizelge 1. Modülatör devresi parametreleri (Modulator circuit parameter)

f_1 $= \frac{1}{R_1 \cdot C_0}$ $= 140\text{kHz}$	$R_1 = \frac{10^{12}}{140000.685} = 10.5\text{K}\Omega$
f_2 $= \frac{1}{R_2 \cdot C_0}$ $= 120\text{kHz}$	$R_2 = \frac{10^{12}}{120000.680} = 12.25\text{K}\Omega$



Şekil 7. "1" dijital verisi için modülatör çıkış sinyali (modulator output signal to digital "1" data)



Şekil 8. "0" dijital verisi için modülatör çıkış sinyal (modulator output signal to digital "0" data)

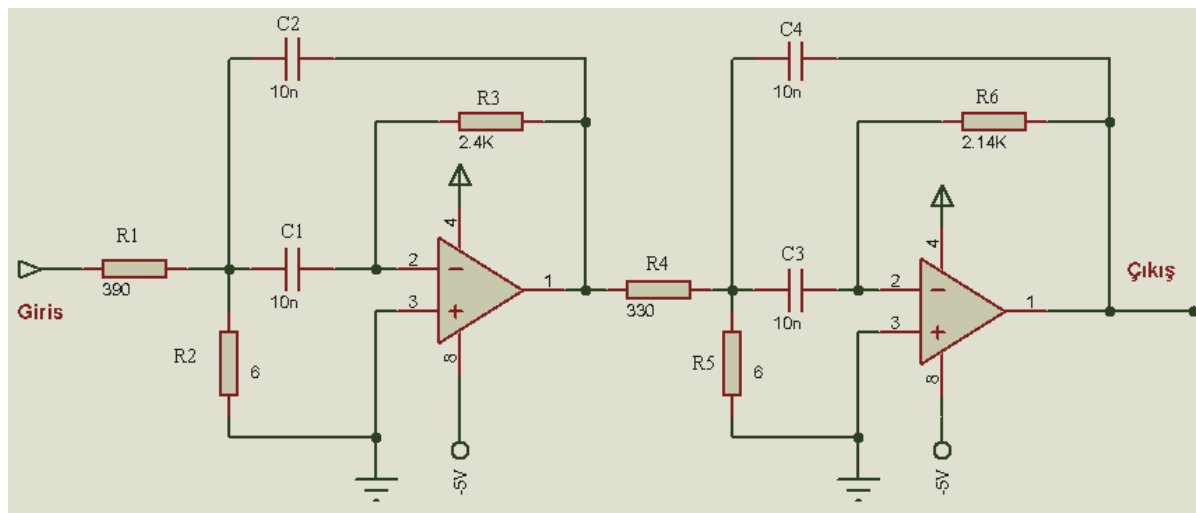
Çizelge 2. Filtre özellikleri ve parametreleri (Filter circuit parameters)

Merkez Frekans f ₀ =130kHz	Bant Genişliği BW=20kHz	Kazanç $A_m = 5$	Kalite Faktörü Q=10
$C_1, \dots, C_7 = 10\text{nF}$	$R_1 = \frac{R_2}{2A_m} = 227\Omega$	$R_2 = \frac{Q}{\pi F_m C} = 2.27\text{K}\Omega$	$R_3 = \frac{-A_m R_1}{2Q^2 + A_m} = 5,5\Omega$

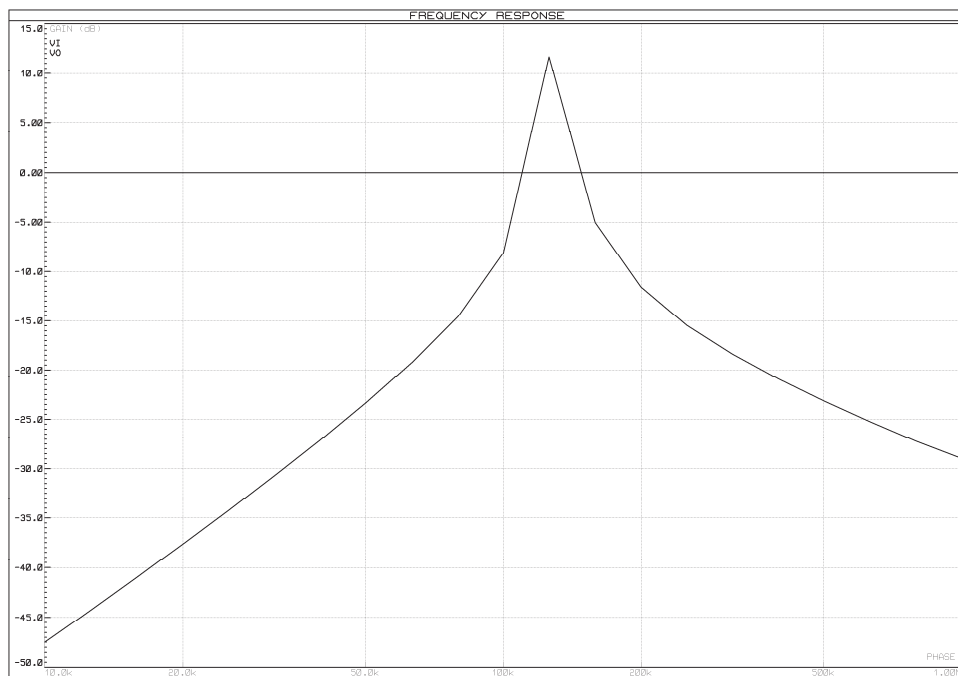
3.2. Aktif Band Geçiren Filtre Tasarımı (Design of active band pass filter)

Haberleşmede FSK modülasyonu tercih edildiğinden "0" sinyali için 120kHz, "1" sinyali için ise 140kHz kullanılması uygun olacaktır. Bu tercihlere göre, merkez frekansı 130kHz olan bir aktif filtre tasarımlının gerçekleştirilmesi gerekmektedir. Çizelge 2'de filtre özellikleri ve hesaplanan parametreleri verilmiştir. Şekil 9'da tasarlanan bant geçiren aktif filtrenin devresi gösterilmiştir. Burada filtrenin kalite

faktörünün (Q=10) yüksek seçilmesi filtrenin 3dB yaymayı noktasından sonraki sinyalleri daha güçlü şekilde bastırmasını sağlar. Şekil 10'da ise tasarlananfiltreye ait simülasyon olarak bode diyagramı çizdirilmiştir. Eleman değerlerinin yuvarlanması sonucu bode diyagramında merkez frekansı azda olsa kaymıştır. Filtre alt kesim frekansı 110kHz üst kesim frekansı ise 150kHz dir [11].



Şekil 9. Merkez frekansı 130kHz olan bant geçiren aktif filtre devresi (Band-pass active filter circuit with central frequency of 130 kHz)

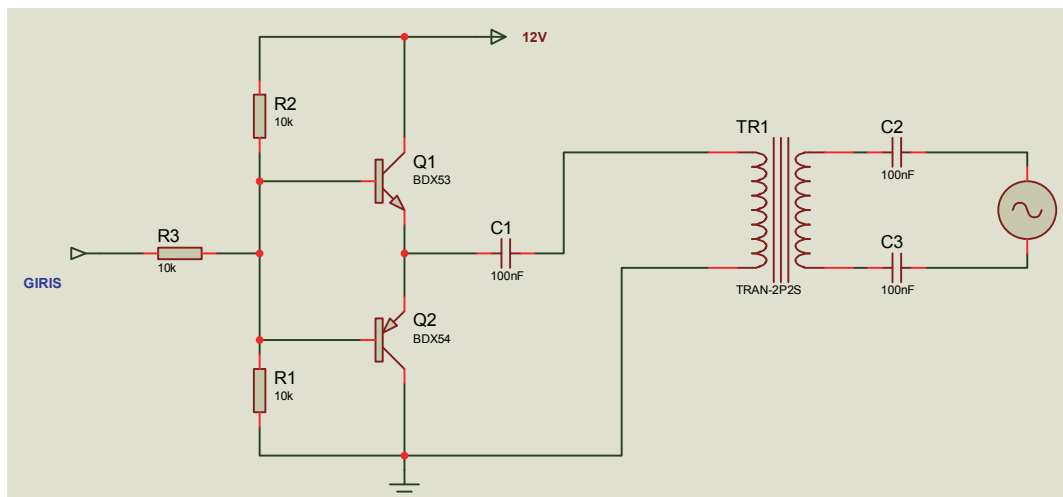


Şekil 10. Filtreye ait bode diyagramı (Filter bode diagram)

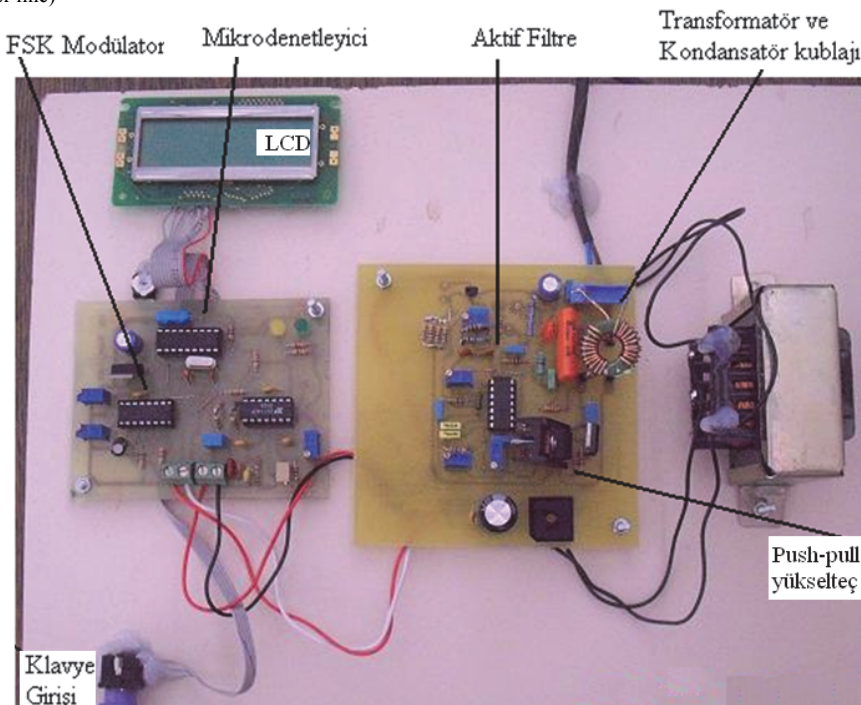
3.3. Enerji hattına mesaj sinyalinin uygulaması (Application of message signal over power line)

Şekil 11'de FSK tarafından üretilen mesaj sinyali; band geçiren filtreden geçirildikten sonra Push-Pull yükselteci ile genliği ve akımı yükseltilmekte, transformatör üzerinden geçirildikten sonra ise seri kondansatör ile enerji hattına uygulanmaktadır. Kondansatör ile kublaj yapmanın nedeni kondansatörün yüksek frekanslı mesaj sinyaline karşı

düşük reaktans, 50Hz gibi düşük frekanslı şebekeye karşı yüksek reaktans özelliğine sahip olmasıdır. Bu özellikten dolayı yüksek frekanslı FSK sinyali hatta kolaylıkla uygulanabilmekte, ancak 50Hz gibi düşük frekanslı ve yüksek genlikli şebekede geriliminden dolayı verici devreye doğru devrenin işlevini olumsuz etkileyeceğ bir akım geçişine izin vermemektedir. Tasarımı hakkında bilgi verilen verici devresinin bir fotoğrafı Şekil 12'de verilmiştir.



Şekil 11. Sinyalin yükseltilmesi ve kublaj devresi ile hatta bindirilmesi (Amplification and coupling circuit for the signal to transfer on the power line)



Şekil 12. Tasarlanan verici sistem (Designed transmitter system)

4. ALICI DEVRESİ (RECIEVER CIRCUIT)

Alici sistem ile verici sistem çok benzerdir. Ancak uygulamada alici sistem için klavye kullanılmamıştır. Sistemde kullanılan 16F628 mikro denetleyiciye ait program CCS C dilinde yazılarak uygulama gerçekleştirilmiştir. Enerji hattından yapılan haberleşme uygulamasında sisteme bir LCD ve bir klavye eklenerek klavyeden girilen karakterler LCD de gözlemlenmekte ve aynı zamanda enerji hattı üzerinden alici sisteme de gönderilmekte, gönderilen karakterler alici sistemde aynen gözlemlenmektedir. Böylelikle enerji hatları üzerinden mesajlaşma uygulaması yapılabilmektedir.

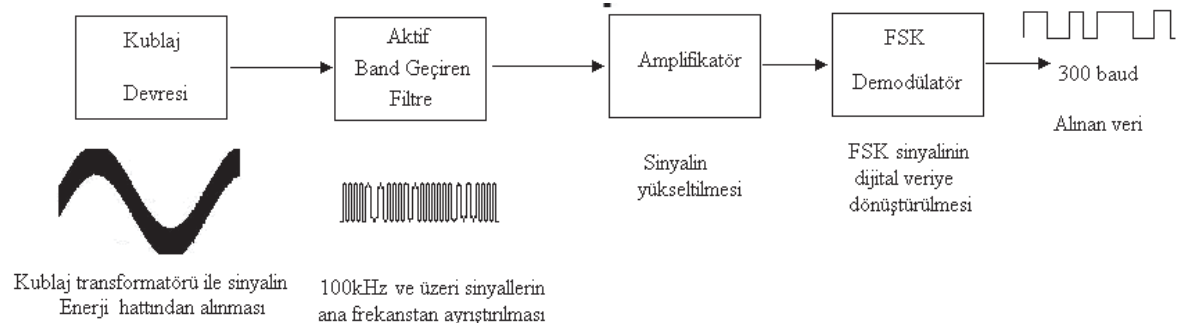
Şekil 13'teki alici sisteminde de görüldüğü gibi kublaj transformatörü üzerinden alınan sinyal aktif band geçiren filtreden geçirildikten sonra kazancı yükseltilmekte ve FSK demodülatöre uygulanmakta, daha sonra FSK demodülatör tarafından dijitalce çevrilmekte ve elde edilen seri veri demodülatör çıkışından alınarak mikro denetleyici girişine uygulanmaktadır. Haberleşme sisteminin üç farklı şebekenin her bir fazında çalışabilmesi için her an veri gönderimi yapılmasının yanı sıra fazlar arasında yüksek frekanslı sinyalin gecebilmesi, şebeke sinyaline ise yüksek reaktans göstermesi amacıyla kondansatörler fazlar arası Şekil 1'de görüldüğü gibi paralel olarak bağlanmıştır.

4.1. FSK tipi demodülatör tasarımı (Design of frequency shift keying type demodulator)

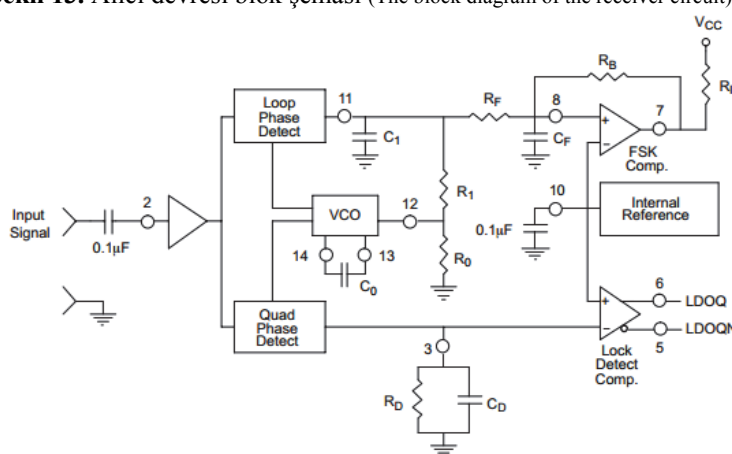
Şekil 14'te gösterilen demodülatör devresinde kullanılan XR2211 demodülatör entegresi içerisinde faz kilitlemeli döngü (PLL) bulundurur ve veri haberleşmesi uygulamalarında kullanılır. Özellikle de FSK modem uygulamalarında tercih edilmektedir. 4.5V-20V arasında geniş bir çalışma gerilimi aralığı vardır. Çalışma frekansı aralığı ise 0.01Hz ile 300kHz arasındadır. FSK kod çözümünde R_0 ve C_0 PLL orta frekansını belirler. Sistemin band genişliğini R_1 belirler. Döngü filtresinin zaman sabitini ve döngü sönümunü C_1 belirler. C_F ve R_F , FSK veri çıkıştı için tek

kutuplu demodülasyon sonrasıfiltreyi oluştururlar. R_B direnci, FSK karşılaştırıcı üzerine ön gerilim uygular [12]. Çizelge 3'te demodülatör devresi özellikleri ve hesaplanan parametreleri gösterilmiştir.

Alici sisteme ait uygulama devresi Şekil 15'te görülmektedir. Alici ve verici devresinde FSK modülatör ve demodülatör devreleri tek kart üzerine 2 adet yapılmış verici sisteme modülatör kısmı, alici sisteme ise demodülatör kısmı aktif edilmiştir. Şekil 16'de 5m mesafe sonunda alici devrenin kublaj transformatörü çıkışından ölçülen sinyal görülmektedir. Görüldüğü gibi sinyal genliği 9,4V'a düşmüştür.



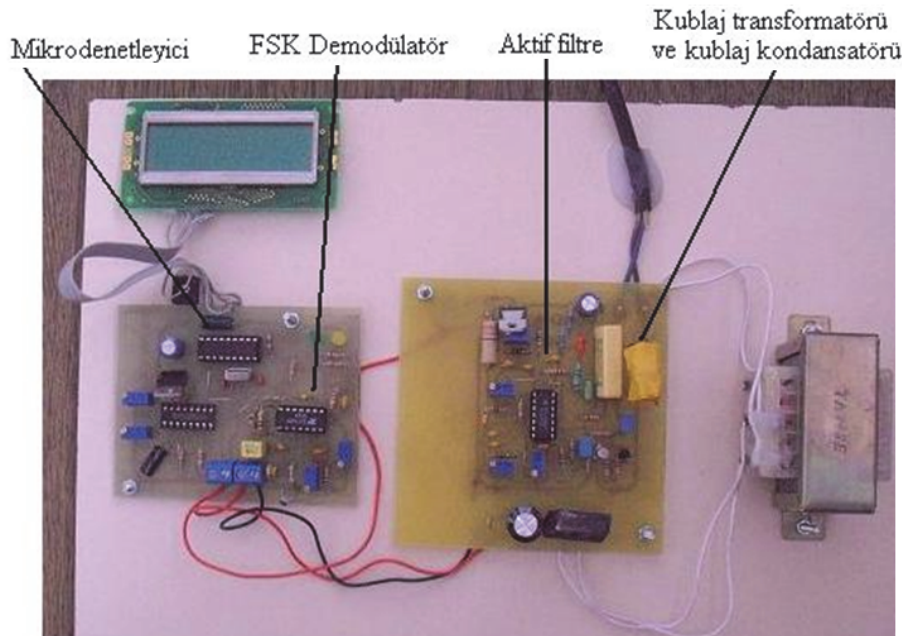
Şekil 13. Alici devresi blok şeması (The block diagram of the receiver circuit)



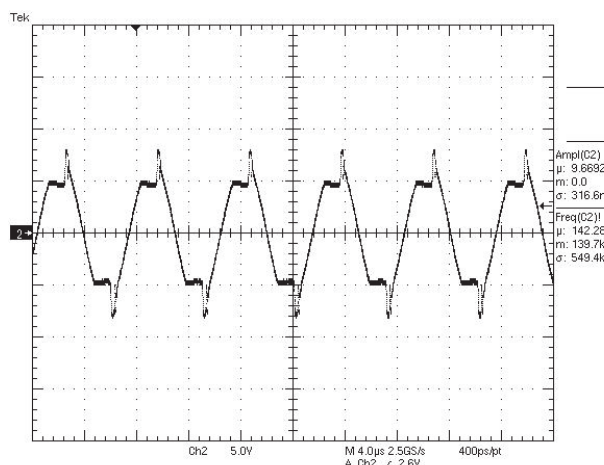
Şekil 14. FSK demodülatör devresi (FSK demodulator circuit)

Çizelge 3. Demodülatör devresi parametreleri (Demodulator circuit parameters)

$f_0 = \frac{f_1+f_2}{2} = 130\text{kHz}$	$\zeta = 0.5$	Baud rate=300
$R_t = R_0 + \frac{R_x}{2} = 12.5\text{K}$	$R_f = 5R_1 = 406\text{K}\Omega$	$R_1 = \frac{R_t f_0}{f_1 - f_2} 2 = 81.2\text{K}\Omega$
$R_b = 5R_f = 2\text{M}\Omega$	$R_{sum} = \frac{(R_f + R_1)R_b}{(R_1 + R_f + R_b)} = 391\text{K}\Omega$	$C_f = \frac{0.25}{(R_{sum} \cdot \text{Baudrate})} = 2\mu\text{F}$
$C_0 = \frac{1}{R_t f_0} = 615\text{pf}$	$C_1 = \frac{1250 C_0}{R_1 \zeta^2} = 38\text{pF}$	

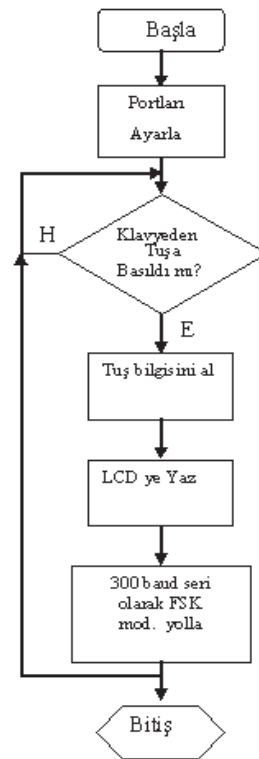


Şekil 15. Tasarlanan alıcı sistem (Designed receiver system)

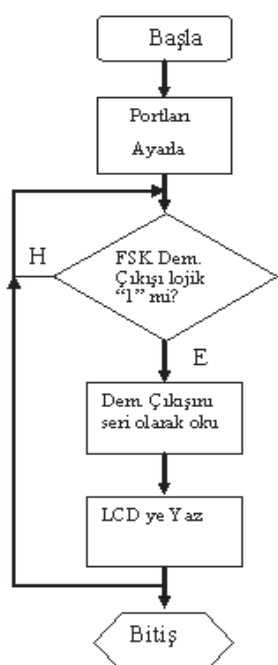


Şekil 16. Alıcı devrede ölçülen “dijital 0” bilgisine ait sinyal (The measured “digital 0” signal in the receiver circuit)

Şekil 17 ve Şekil 18'de Verici sisteme ve alıcı sistemde mikrodenetleyicilere yazılan programlara ait basit akış diyagramları görülmektedir. Bu diyagramlardan anlaşılabileceği üzere iki mikrodenetleyici temel olarak aralarında 300 baud hızında haberleşme yapmaktadır. Bu dijital haberleşme sinyalinin yüksek frekanslı sinüs sinyaline çevrilmesi ve tekrar çözülüp dijital sinyale çevrilmesi tamamen FSK modülatör ve demodülatör ile gerçekleştirilmektedir. Verici devresinde klavyeden alınan tuş bilgisine karşılık gelen 1 bytelik veri 300 baud hızında mikrodenetleyici ile gönderilmektedir. Alıcı devresinde ise mikrodenetleyici demodülatör çıkışından 300 baud dijital veri okumaktadır.



Şekil 17. Verici sistem mikrodenetleyici programı akış diyagramı (Transmitter system microcontroller program flow chart)



Şekil 18. Alıcı sistem mikrodenetleyici programı akış diyagramı (Receiver system microcontroller program flow chart)

5. SONUCLAR (CONCLUSIONS)

Enerji hatları üzerinden yazılı mesaj gönderme işlemi 5 katlı bir bina içerisinde en üst ve en alttaki daireler arasında başarılı bir şekilde gerçekleştirilmiştir. Burada alıcı sistemde kullanılan filtre devresinin kazancının yüksek olması mesafeyi artırmaktadır. Yapılan sistem bir ürün içerisinde gömülü olmayıp (yeni nesil enerji hatlarından haberleşen modemleri gibi), tamamen kendine özgüdür. Her türlü veri gönderim ve almında kullanılabilir. Hazır bir powerline entegre yapı olmadığı için yazılım geliştirilmesi ve denetim ile her türlü gelişime açıktır. Maliyeti, mevcut powerline entegreleri kullanılan sistemlere göre çok düşüktür. Tasarlanan sistemde dijital veriler paketler halinde gönderilebildiğinden veri sınırı yoktur ve her türlü uygulamaya adapte edilebilir. Sistemin haberleşmesi enerji hattındaki gerilim veya frekansa bağımlı olmadığından DA hatlarında da (güneş panelleri ile haberleşme) kullanılabilir. Sistem çeşitli hatlarda ve mesafelerde denenmiştir. Deneme ortamları;

- i) 15 daireli 5 katlı bir apartmanda akşam saat 21:00 sıralarında denenmiş ve en üst kat ile giriş kat arasında haberleşme sağlanmıştır.
- ii) Bir Endüstri Meslek Lisesi ortamında atölyeler arasında 150m mesafede test edilmiş ve veri iletişimini başarıyla gerçekleştirilmiştir.

Bu sistem uygulamada tek yönlü mesaj gönderme olarak gerçekleştirilmiştir. Sonraki çalışmalarda çift yönlü mesaj gönderme ve alma şeklinde de geliştirilebilir.

KAYNAKLAR (REFERENCES)

1. G. K. Papagiannis, T. A. Papadopoulos, "A PLCBased Energy Consumption Management System. Power Line Performance Analysis: Field Tests and Simulation Results", Power Tech, 2005 IEEE Russia, 1-7, 2005.
2. Aslan G., "Enerji hatları haberleşmeciliği ve modellemesi", Yüksek lisans, Gazi Üniversitesi Fen bilimleri Enstitüsü, Ankara,2007
3. Richard N., vd., "HomePlug AV Security Mechanisms", ISPLC '07, pp.366–371, 2007.
4. Bal G., Daldal N.,Öztürk N., "Implementation of a Call System with Power Line Communication" rd 3 Ieee International Conference Baku, 14-16 October 2009
5. Microchip Technology Inc., "X10 Home automation using the PIC16F877A" AN-236, DS00236B, 1-26, 2010
6. National Semiconductor Application Note 919, "Designing Systems with the IC/SS Power Line Carrier Chipset", Literature Number: SNOA314, 1-21, January 1994.
7. Bal G., Daldal N., "Design and Implementation of Microcontroller BasedTemperature Measurement and Control System UsingPower line Communication", 4 rd Ieee International Conference on Power Engineering, Energy and Electricall Drivers, Powereng-2013,İstanbul
8. Chandra A, "Performance of BFSK over a PLC channel corrupted with background Nakagami noise", IEEE International Conference on Communication Systems (ICCS), 730-734, 2010
9. J. G. Proakis and M. Salehi, "Communication Systems Engineering", Prentice- Hall, 1994
10. EXAR analog plus company, Rev 1.0.3, "XR-2206 monolithic function generator", pdf document, June-1997-3
11. G.Hill,Thomas Kugelstadt, "Active Filter Design Techniques", Texas Instrumens Company, Vol. 16-25,.
12. EXAR analog plus company, Rev 1.0.3, "XR-2211 FSK Demodülator", pdf document, June-1997-3